



Análise Forense de Documentos Digitais

Prof. Dr. Anderson Rocha

anderson.rocha@ic.unicamp.br

<http://www.ic.unicamp.br/~rocha>

Reasoning for Complex Data (RECOD) Lab.
Institute of Computing, Unicamp

Av. Albert Einstein, 1251 – Cidade Universitária
CEP 13083-970 • Campinas/SP – Brasil

Organização

Avisos

► Aulas

- **31/08** – Não haverá aula
- **02/09** – Detecção de Pornografia em I&V
Dr. Eduardo Valle
- **09/09** – Detecção de Duplicações em I&V
Prof. Eduardo Valle

Avisos

- ▶ Matlab R¹⁴ instalado nos LABs do IC-3 (Linux e Windows)
- ▶ Site da disciplina



[http://www.ic.unicamp.br/~rocha/teaching/2010s2/
mo815/index.html](http://www.ic.unicamp.br/~rocha/teaching/2010s2/mo815/index.html)

Organização

- ▶ Atribuição de Fontes (Modelo e Tipo Específico)
 - Câmera
 - *Scanner*
- ▶ Identificação de Criações Sintéticas
- ▶ Técnicas Contra-Forenses

Atribuição de Fontes

Atribuição de Fontes

- ▶ Câmera
- ▶ *Camcorder*
- ▶ *Scanner*
- ▶ Impressora

Atribuição de Fontes

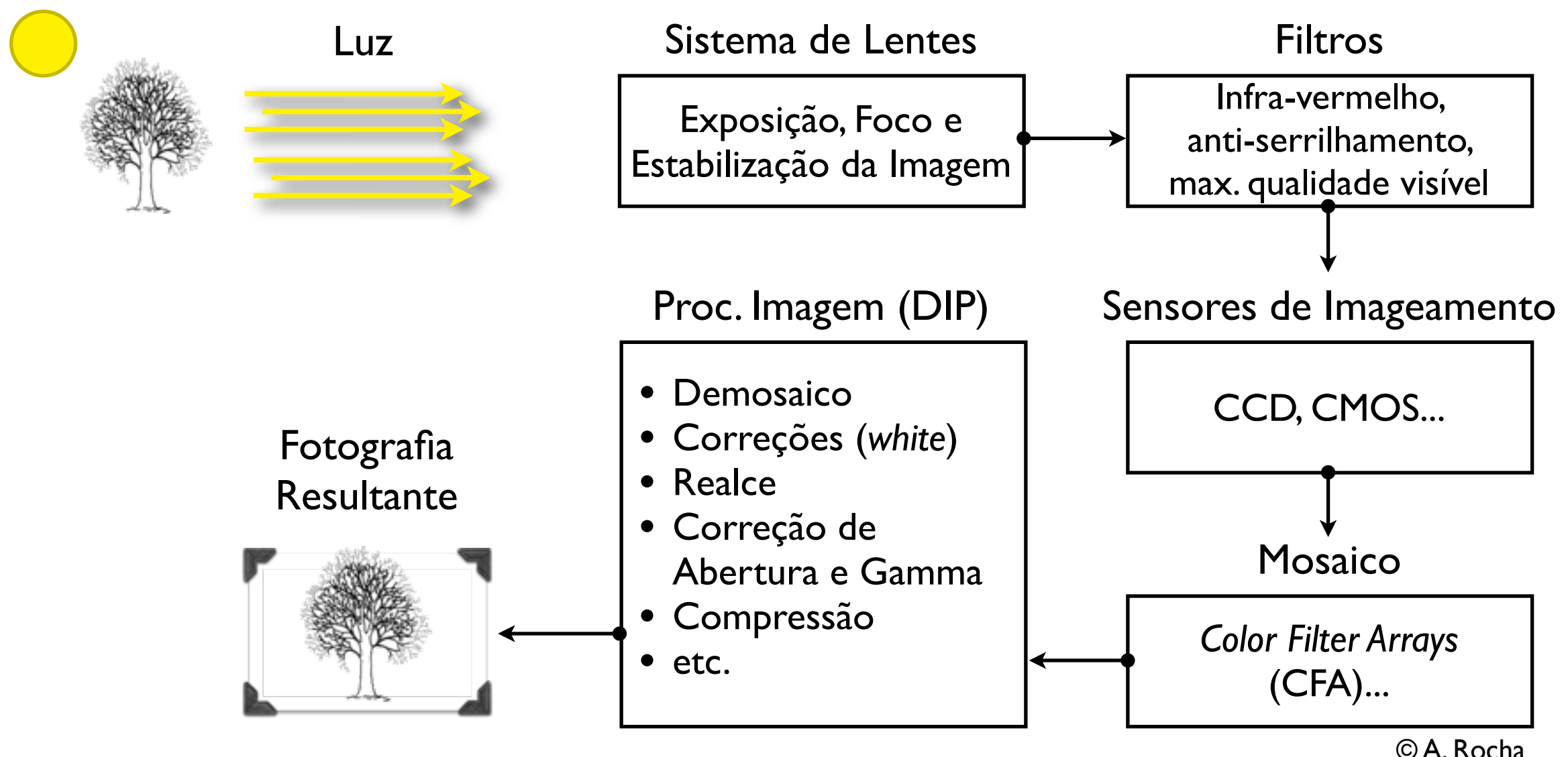
- ▶ Técnicas para apontar/atribuir
 - O modelo do dispositivo de aquisição
 - O dispositivo exato

Atribuição do Modelo de Câmera

Atribuição do Modelo

- ▶ Informações relacionadas ao processo de aquisição
 - Características das lentes
 - Tipo e tamanho dos sensores de aquisição
 - Tipo de filtro de mosaico/demosaico
 - Informações dos algoritmos da DIP

Pipeline Câmera

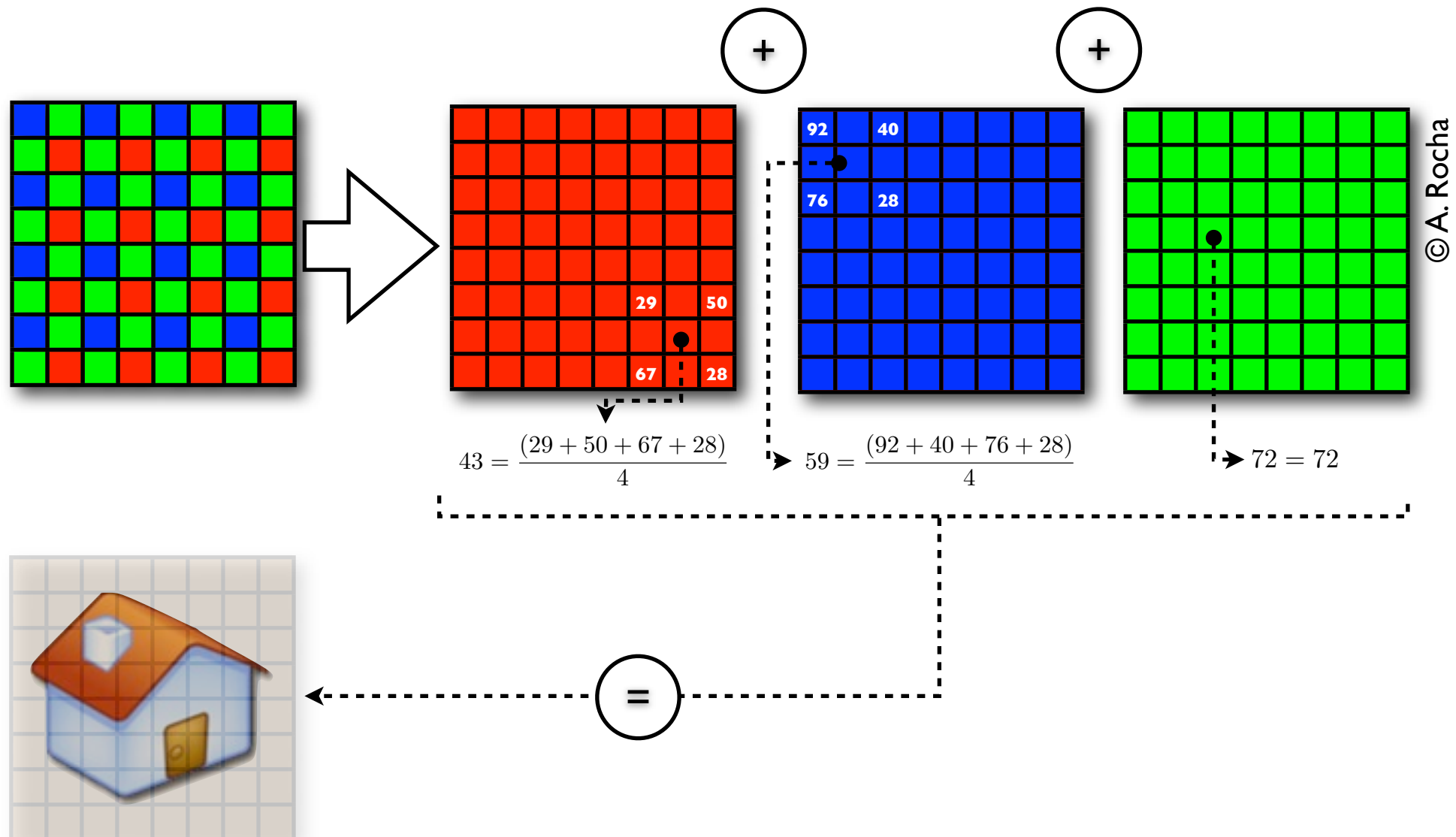


© A. Rocha

Estado da Arte

- ▶ Análise de pós-processamento
[Kharrazi et al. 2004]
- ▶ Análise de artefatos de mosaico/demosaico
[Popescu & Farid 2004; Bayram et al. 2005b]
- ▶ Artefatos em tabelas de quantização JPEG
[Popescu 2004]
- ▶ Distorções de lentes
[Choi et al. 2006]

Mosaico/Demosaico



Análise de Artefatos CFA

► Hipótese:

- linhas e coluna de imagens interpoladas provavelmente possuem correlações com seus vizinhos
- relação de vizinhança pode ser fornecida por *kernels* de tamanhos específicos (e.g., 3×3 , 5×5 , etc.)

Análise de Artefatos CFA

- ▶ [Popescu 2004] apresentam um algoritmo de maximização da esperança (EM)
- ▶ Dois estágios
 - Esperança
 - Maximização

Análise de Artefatos CFA

- ▶ No estágio da esperança (E), estima-se a probabilidade de cada amostra pertencer a um modelo em particular
- ▶ No estágio da maximização (M), estima-se a forma específica das correlações entre as amostras

Análise de Artefatos CFA

- ▶ Mais especificamente, podemos assumir que cada amostra pertence a um de dois modelos possíveis
- ▶ Se a amostra é linearmente correlacionada com seus vizinhos ela pertence ao Modelo I. Caso contrário, ao Modelo 2

Análise de Artefatos CFA

► Função de correlação linear

$$f(x, y) = \sum_{u,v=-k}^k \alpha_{u,v} f(x+u, y+v) + N(x, y),$$

- f é um canal de cor (RGB) após o demosaico, k é um inteiro e N distribuição normal iid
- u, v são offsets dos pixels
- α é um vetor de coeficientes lineares que expressa as correlações

Análise de Artefatos CFA

- ▶ Esperança estima a prob. de cada amostra pertencer ao Modelo I

$$\Pr\{f(x, y) \in \mathcal{M}_1 | f(x, y)\} = \frac{\Pr\{f(x, y) | f(x, y) \in \mathcal{M}_1\} \Pr\{f(x, y) \in \mathcal{M}_1\}}{\sum_{i=1}^2 \Pr\{f(x, y) | f(x, y) \in \mathcal{M}_i\} \Pr\{f(x, y) \in \mathcal{M}_i\}},$$

- ▶ $\Pr\{f(x, y) \in \mathcal{M}_1\}$ e $\Pr\{f(x, y) \in \mathcal{M}_2\}$ são prob. a priori (1/2)

Análise de Artefatos CFA

- ▶ Se assumirmos que uma amostra é gerada pelo Modelo I, a probabilidade de isso ocorrer é

$$\Pr\{f(x, y) | f(x, y) \in \mathcal{M}_1\} = \frac{1}{\sigma\sqrt{2\pi}} \left[-\frac{1}{2\sigma^2} \left(f(x, y) - \sum_{u,v=-k}^k \alpha_{u,v} f(x+u, y+v) \right)^2 \right].$$

- ▶ Assumimos que o Modelo 2 tem uma distribuição uniforme
- ▶ Estimamos a variância no estágio M

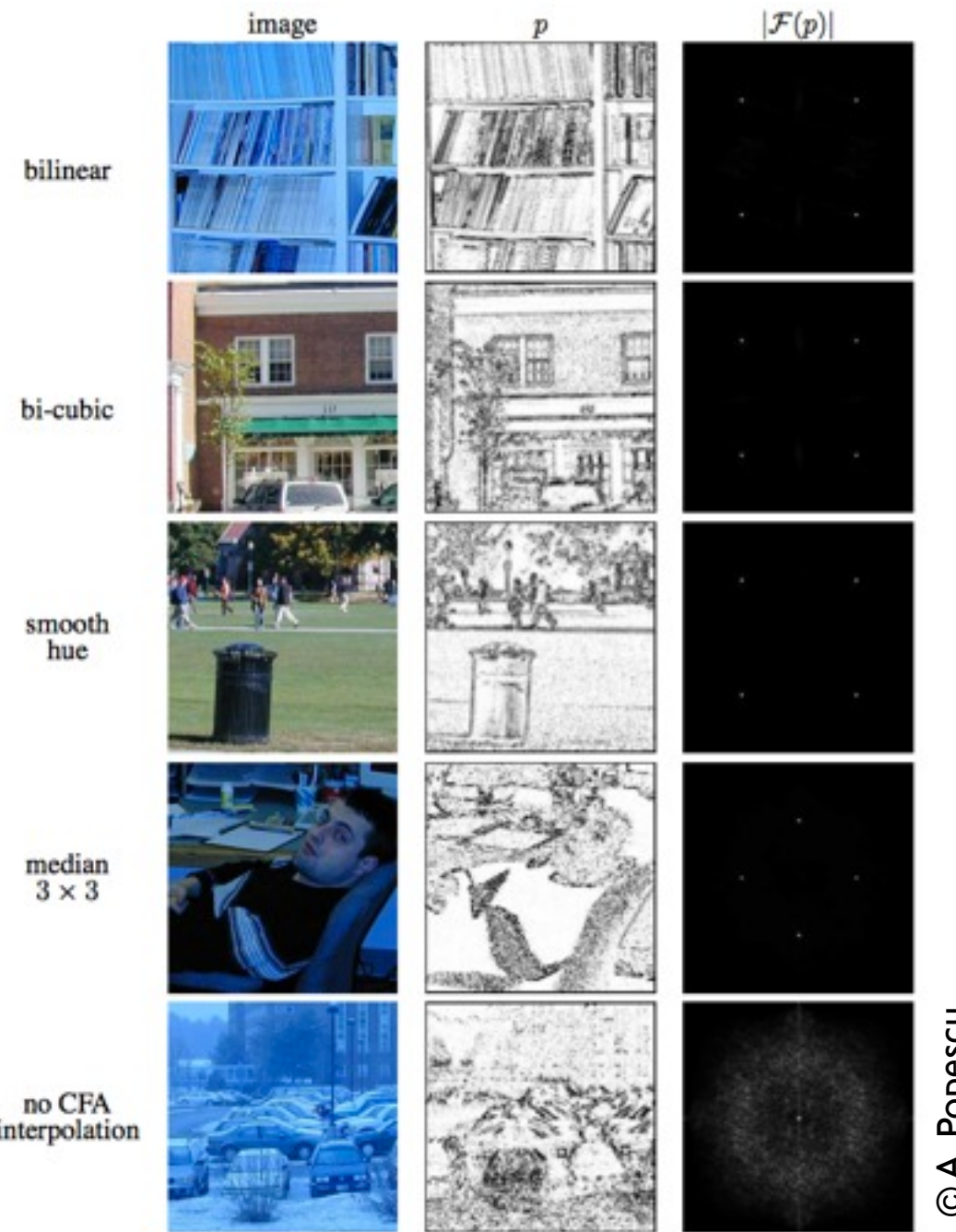
Análise de Artefatos CFA

- ▶ No estágio M precisamos estimar os coeficientes da correlação
- ▶ Usamos método dos mínimos quadrados

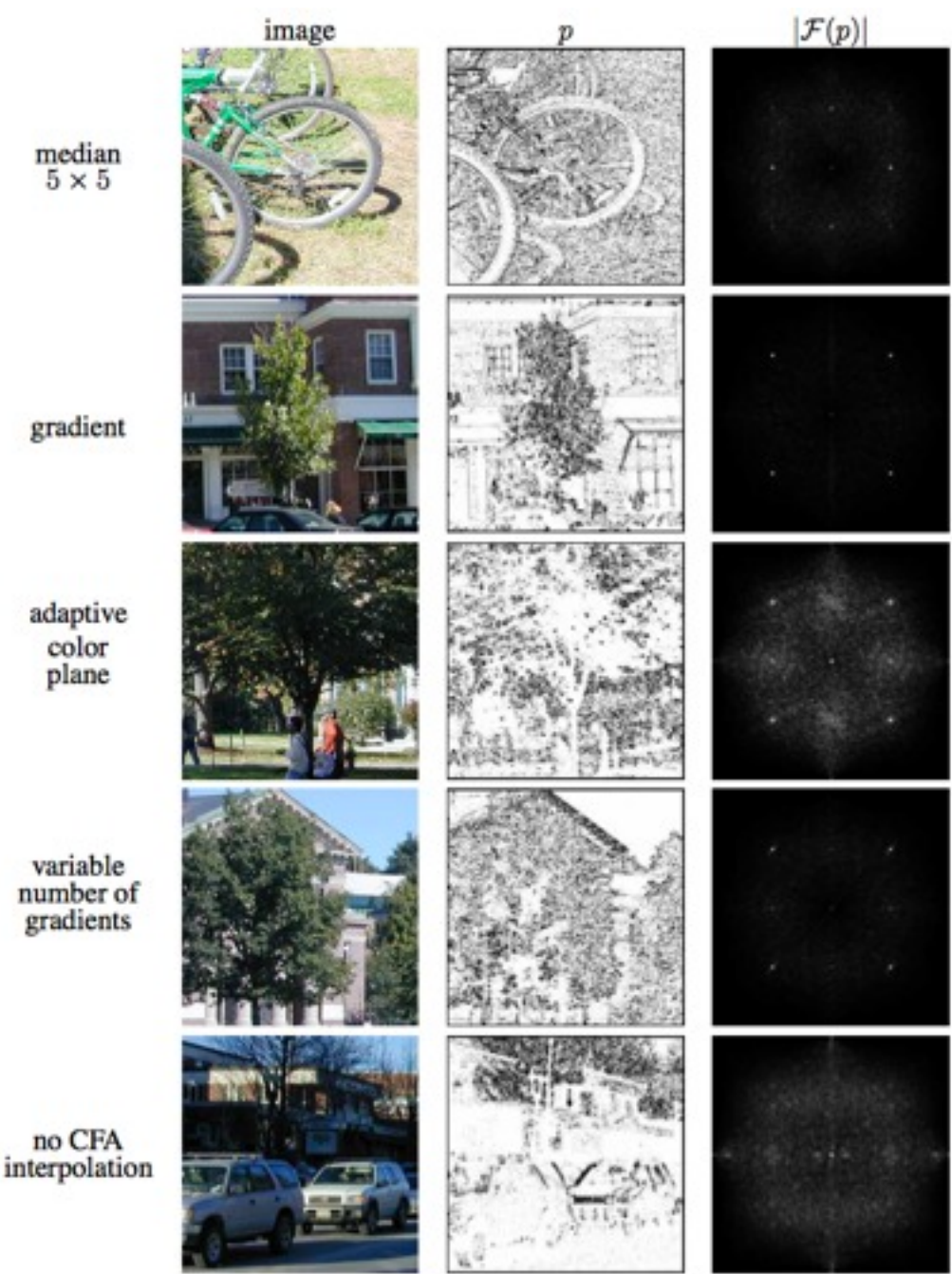
$$E(\vec{\alpha}) = \sum_{x,y} w(x,y) \left(f(x,y) - \sum_{u,v=-k}^k \alpha_{u,v} f(x+u, y+v) \right)^2.$$

- ▶ Os pesos w são equivalentes a $\Pr\{f(x, y) \in \mathcal{M}_1 | f(x, y)\}$

Análise de Artefatos CFA



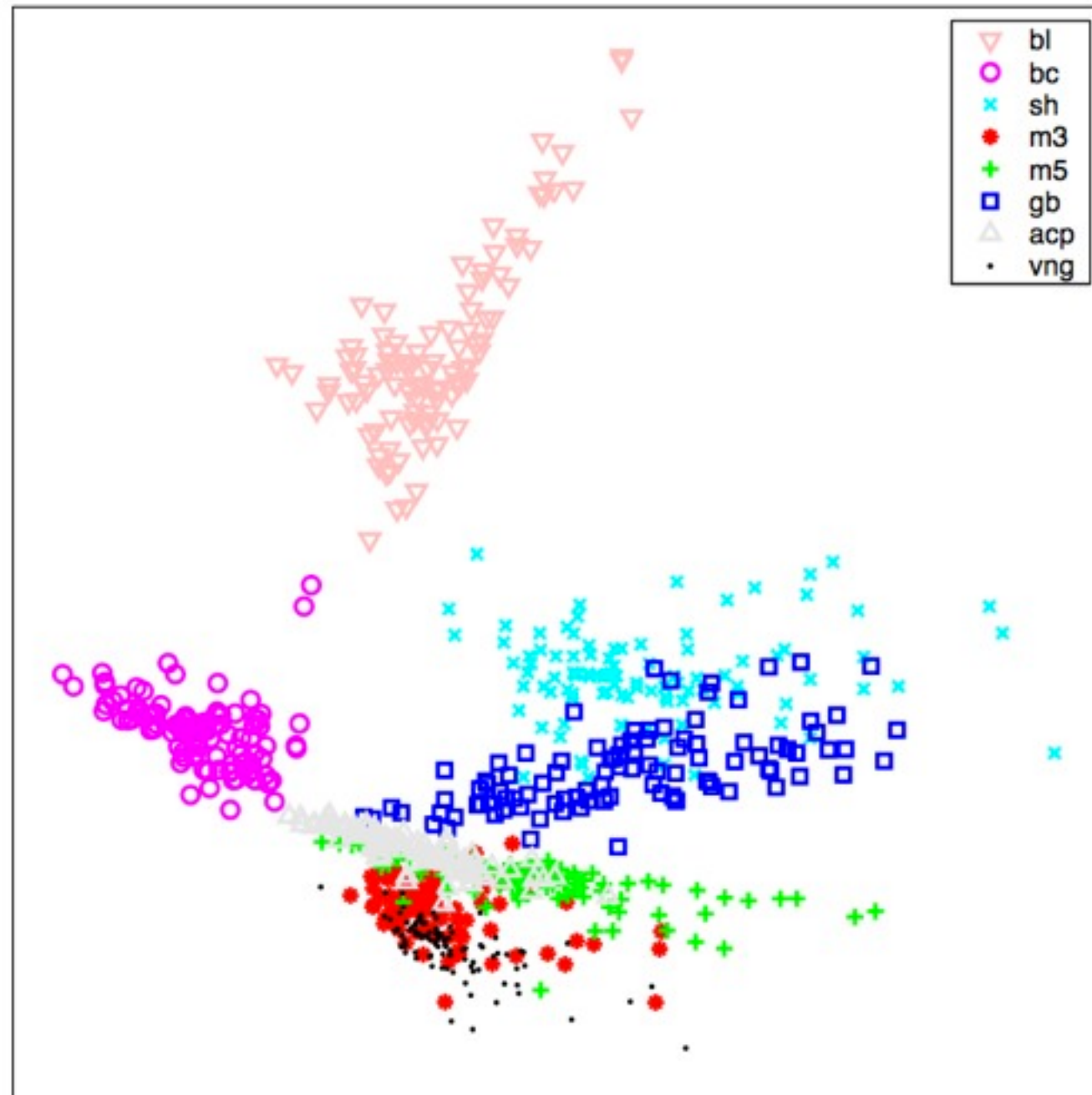
© A. Popescu



© A. Popescu

Análise de Artefatos CFA

© A. Popescu



1. Cem imagens com interpolação CFA
2. Algoritmos
 - 2.1. Bilinear
 - 2.2. Bicubic
 - 2.3. Smooth hue
 - 2.4. Median (3 & 5)
 - 2.5. Gradient
 - 2.6. Adaptive Color Plane
 - 2.7. Variable Gradients

Análise de Artefatos CFA

- ▶ Problemas?
- ▶ Quais são os possíveis ataques a essa abordagem?
- ▶ Podemos empregar aprendizado de máquina?
- ▶ Podemos usar isso no cenário de investigação de adulterações de imagens?

Atribuição da Câmera em Específico

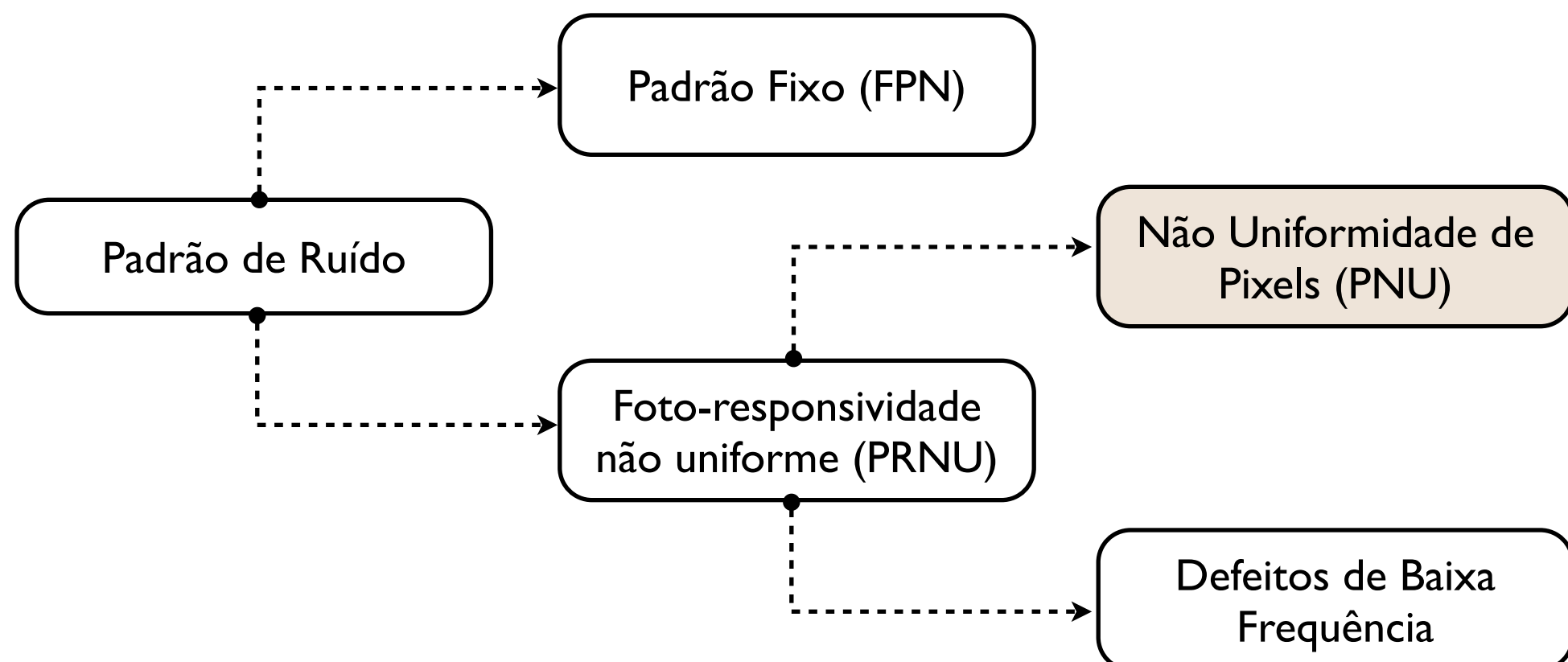
Atribuição direta

- ▶ Características únicas da câmera em análise
 - Imperfeições dos componentes
 - Defeitos e falhas decorrentes do ambiente e condições de operação
 - *Dead e cold pixels, pixel traps etc.*

Estado da Arte

- ▶ Análise dos efeitos do ruído inserido no processo de captura
[Lukas et al. 2006]
- ▶ Artefatos originados pela presença de poeira nos sensores no momento de aquisição
[Dirik et al. 2007]
- ▶ Efemeridade

Análise de Ruído



© A. Rocha

Análise de Ruído

► FPN

- Aditivo e decorrente de *dark-currents*
- dependente do tempo de exposição e temperatura
- Pode ser removido “*in-camera*” extraindo-se um quadro preto (*dark frame*)

Análise de Ruído

► PRNU

- Multiplicativo
- Causado pelo ruído não uniforme dos *pixels* (PNU) e defeitos de baixa frequência
- Definido como a sensitividade que diferentes *pixels* têm em relação à luz
- Causado por inconsistências na fabricação do sensor de captura

Análise de Ruído

► PRNU

- Os defeitos de baixa frequência são causados pelos efeitos da refração da luz nas partículas devido a configurações de *zoom* e superfície ótica
- Não utilizado no trabalho de [Lukas et al. 2006]

Análise de Ruído

- ▶ Para utilizar o ruído PNU no cenário forense, este precisa ser isolado
- ▶ Em um cenário forense certamente não teremos um padrão de referência
- ▶ Temos que estabelecer um padrão de referência P_c , uma aproximação do ruído PNU

Análise de Ruído

- ▶ No processo de aproximação, fazemos a média de K imagens de uma cena uniforme (*lit scene*) como o céu, por exemplo

$$\bar{I}^{(k)} = \frac{1}{K} \sum_{k=1}^K I^k.$$

- ▶ Esta aproximação pode ser otimizada de modo a suprimir o conteúdo da cena

Análise de Ruído

- ▶ Filtro de supressão/remoção de ruído (*denoising*)

$$\bar{\xi}^{(k)} = (I^{(k)} - \lambda(I^{(k)}))/K$$

- ▶ *Wavelet denoising* é uma boa escolha
- ▶ Como determinar se uma dada imagem I_{teste} pertence a uma determinada câmera?

Análise de Ruído

- ▶ Como determinar se uma dada imagem I_{teste} pertence a uma determinada câmera?
- ▶ Calcula-se a correlação entre o ruído residual da imagem em questão e o padrão de referência

$$\rho_c(I) = \frac{(\xi - \bar{\xi}) \cdot (P_c - \bar{P}_c)}{\|\xi - \bar{\xi}\| \|P_c - \bar{P}_c\|}.$$

Análise de Ruído

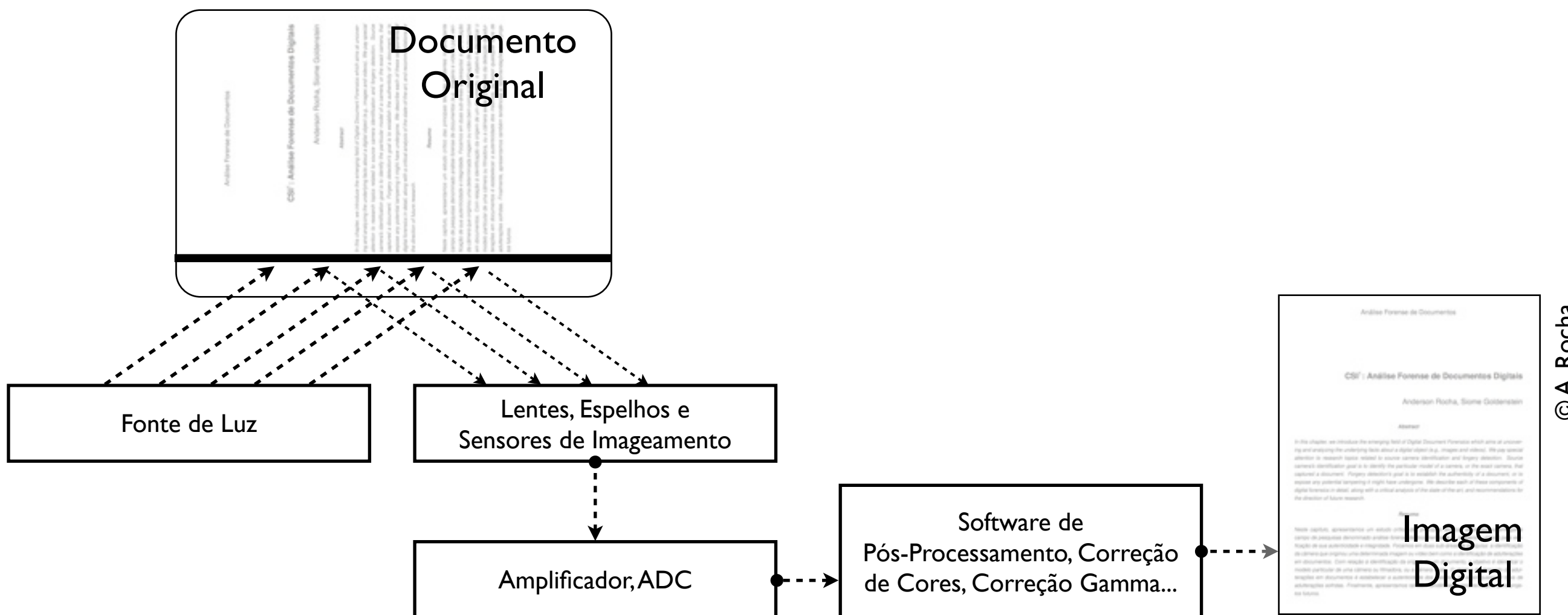
- ▶ Método com ótimos resultados
- ▶ Problemas
 - Sincronização (modificações de escala e recorte)
 - Força bruta para achar as transformações
- ▶ Podemos empregar aprendizado de máquina?

Atribuição de Scanner

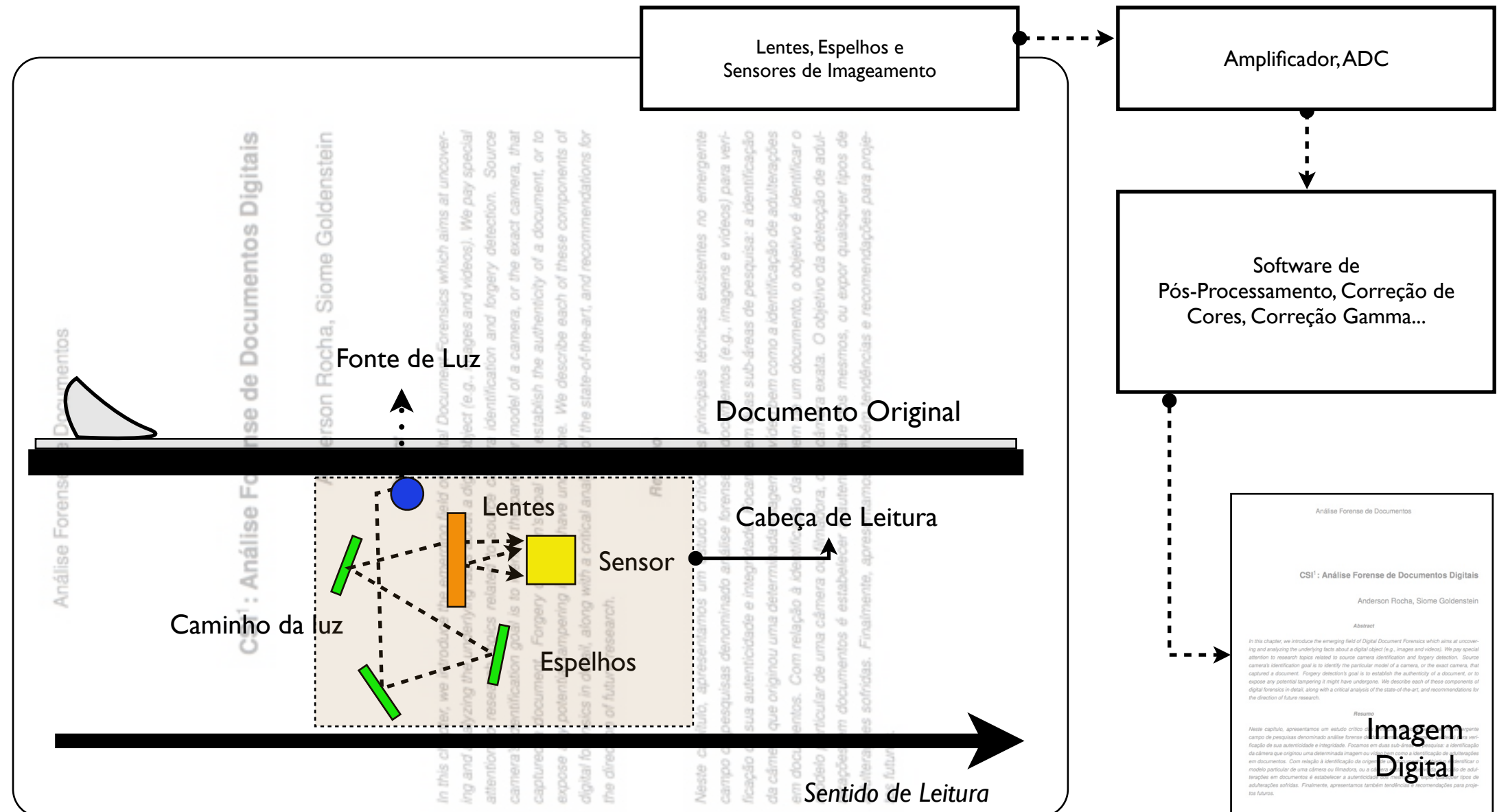
Atribuição de Scanner

- ▶ O processo de fabricação de qualquer dispositivo eletrônico de captura introduz defeitos nos sensores de imageamento
- ▶ Como funciona o processo de captura de um scanner?

Aquisição via Scanner (recap)



Aquisição via Scanner (recap)



Atribuição de Scanner

- ▶ Scanners possuem
 - Resolução horizontal (sensor) e vertical (motor de passo)
 - Motor de passo
 - Estabilizador

Atribuição de Scanner

- ▶ Como os *scanners* fazem escaneamentos em resolução não-nativa?
 - Sub-amostragem
 - Amostragem normal seguida de ajustes *in-scanner* (maioria)

Estado da Arte

- ▶ Extensões da análise de ruído FPN
[Gloe et al. 2007a] e [Gou et al. 2007]
- ▶ Análise de ruído considerando as propriedades de captura unidimensionais e periódicas do *scanner*
[Khanna et al. 2009]

Ruído e Periodicidade

- ▶ Construção do padrão de referência
- ▶ Média das linhas (devido ao motor de passo)
- ▶ Média de múltiplas imagens
- ▶ Análise de correlação

Ruído e Periodicidade

- ▶ Filtro de supressão/redução de ruído

$$I_{noise}^k = I^k - I_{denoised}^k$$

- ▶ Com K imagens podemos construir o padrão de referência (2D) de um dado scanner

$$\tilde{I}_{noise}^{array}(i, j) = \frac{1}{K} \sum_{k=1}^K I_{noise}^k(i, j);$$

$$1 \leq i \leq M \text{ e } 1 \leq j \leq N$$

Ruído e Periodicidade

- ▶ Padrão de referência 1D

$$\tilde{I}_{noise}^{linear}(1, j) = \frac{1}{M} \sum_{i=1}^M \tilde{I}_{noise}^{array}(i, j); \quad 1 \leq j \leq N.$$

- ▶ Como atribuir uma imagem em específico a um scanner?

Ruído e Periodicidade

- ▶ Correlação entre a assinatura de um *scanner* e um padrão de referência

$$C(X, Y) = \frac{(X - \bar{X}) \cdot (Y - \bar{Y})}{\|X - \bar{X}\| \cdot \|Y - \bar{Y}\|}.$$

- ▶ Técnica com bons resultados na prática
- ▶ Palavra final?

Ruído e Periodicidade

- ▶ Palavra final?
- ▶ Problemas
 - *Scanners usam parcialmente a superfície de captura (vidro)*
 - Esta abordagem requer condições similares de captura para funcionar

Ruído e Periodicidade

- ▶ [Khanna et al. 2009] propõe uma análise estatística sobre os vetores de assinatura
- ▶ Média das linhas e colunas em \tilde{I}_{noise}^l e \tilde{I}_{noise}^c
- ▶ Cálculo da correlação entre cada linha de I_{noise} e a média das linhas de \tilde{I}_{noise}^l
- ▶ Similarmente para as colunas

Ruído e Periodicidade

- ▶ Estatísticas de ordem sobre as novas características (média, variância, moda, curtose, etc.)
- ▶ Classificador de padrões
- ▶ Bons resultados

Técnicas Contra- Forenses em Atribuição

Abordagens Contra-Forenses

- ▶ Técnicas de atribuição de dispositivos de captura vs. Técnicas contra-forenses
- ▶ [Gloe et al. 2007b] observam que um filtro de supressão/redução de ruído baseado em *wavelets* não elimina o ruído totalmente
- ▶ Pode aplicar um método de *flatfielding* para capturar o ruído restante

Abordagens Contra-Forenses

- ▶ Para estimar o ruído fixo (FPN) pode-se utilizar imagens de um quadro preto

$$I_{dark_estimate} = \frac{1}{J} \sum_J I_{dark}.$$

- ▶ Para estimar o ruído PRNU, usa-se K imagens de uma cena homogênea (e.g., céu azul) subtraindo-se o a estimativa FPN

Abordagens Contra-Forense

► Estimativa de *flatfielding*

$$I_{flatfield} = \frac{1}{K} \sum_K (I_{light} - I_{dark_estimate}).$$

- Com as estimativas em mãos, pode-se suprimir as características de ruído em uma imagem de uma câmera em específico
- Como?

Abordagens Contra-Forense

► Retirando a assinatura de ruído

$$\hat{I} = \frac{I - I_{dark_estimate}}{I_{flatfield}}.$$

► *Flatfielding* é difícil devido ao grande número de parâmetros que precisam ser levados em conta

- tempo de exposição
- velocidade de captura
- ISO etc.

Abordagens Contra-Forense

- ▶ Após a extração de padrão de ruído, como substituí-lo como outro padrão?
- ▶ O padrão de ruído de uma câmera pode ser substituído com a operação de *flatfielding inverso*

$$\hat{I}_{forge} = \hat{I} \cdot I_{flatfield_forge} + I_{dark_forge}.$$

Identificação de Criações Sintéticas

Identificação de Criações Sintéticas

► CPPA

- Possessão de imagens de menores de idade é considerado crime
- Imagens geradas em computador não são crime
- E se alguém fotografa um menor e modifica propriedades no computador?

Estado da Arte

- ▶ **Decomposição multi-escala e análise estatística**
[Lyu 2005]
- ▶ **Diferenças em modelos de superfície (imagens naturais vs. imagens sintéticas)**
[Ng et al. 2005]
- ▶ **Propriedades de aquisição – ruído**
[Dehnie et al. 2006]

Estado da Arte

- ▶ Análise do comportamento de imagens naturais e geradas em computador mediante sucessivas perturbações
[Rocha & Goldenstein 2007,
Rocha & Goldenstein 2010]
- ▶ Propriedades de aquisição – artefatos de mosaico/demosaico
[Dirik et al. 2007]

Decomposição multi-escala e análise estatística

- ▶ [Lyu 2005], apresentaram uma técnica para identificação de imagens sintéticas baseado na decomposição *wavelet* de imagens
- ▶ Extensão de um trabalho anterior para o cenário de detecção de mensagens escondidas em imagens digitais

Decomposição multi-escala e análise estatística

► Hipótese

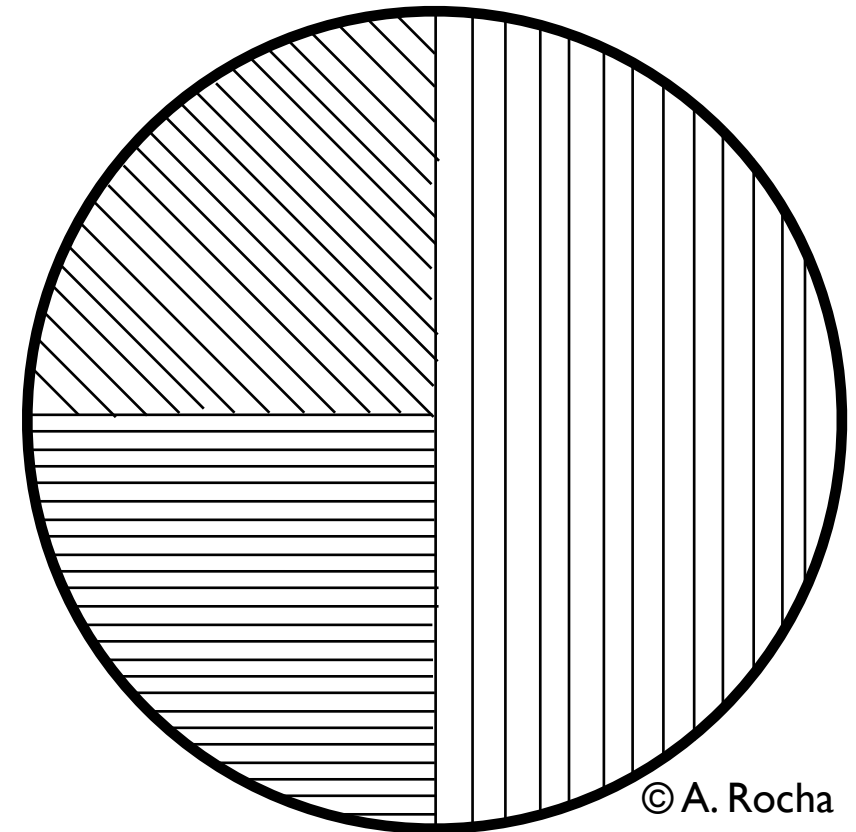
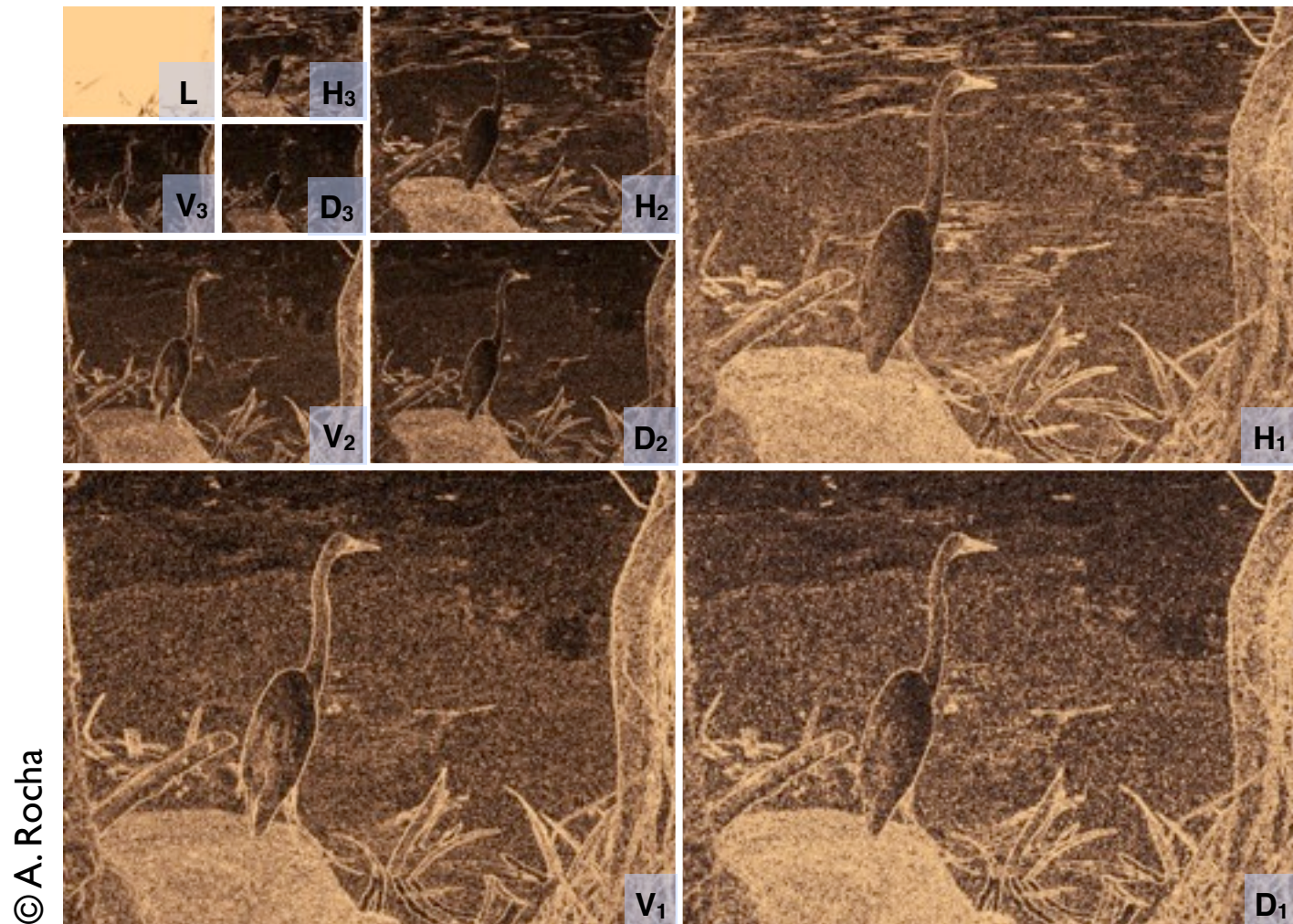
- imagens naturais possuem regularidades detectáveis com estatísticas de alta ordem
- o processo de criação de uma imagem em computador insere artefatos estatísticos nas imagens produzidas

Decomposição multi-escala e análise estatística

► Como funciona o método?

- Decomposição QMF da imagem em múltiplas escalas e orientações
- análise estatística em duas fases
 - análise direta
 - predição linear dos erros de magnitude

Decomposição multi-escala e análise estatística



Decomposição multi-escala e análise estatística

- ▶ A análise direta das múltiplas escalas e orientações consiste em calcular
 - média
 - variância
 - moda
 - curtose

Decomposição multi-escala e análise estatística

- ▶ A predição linear dos erros de magnitude consiste em estimar as possíveis correlações entre um *pixel* e seus vizinhos multi-escala

Decomposição multi-escala e análise estatística

- ▶ Predictor linear para a sub-banda vertical

$$\begin{aligned} V_i(x, y) = & w_1 V_i(x - 1, y) + w_2 V_i(x + 1, y) + w_3 V_i(x, y - 1) \\ & + w_4 V_i(x, y + 1) + w_5 V_{i+1}\left(\frac{x}{2}, \frac{y}{2}\right) + w_6 D_i(x, y) \\ & + w_7 D_{i+1}\left(\frac{x}{2}, \frac{y}{2}\right), \end{aligned}$$

- ▶ w_k denota os valores escalares de peso dos coeficientes

Decomposição multi-escala e análise estatística

- ▶ Como calcular os coeficientes e erro?

$$E(w) = [V - Qw]^2,$$

$$w = (w_1, \dots, w_7)^T$$

- ▶ V contém os coeficientes de magnitude de $V_i(x, y)$
- ▶ $F = 2 \times 3 \times 4 \times s = 72$ características para três escalas

Diferenças físicas nos processos de captura e geração

- ▶ [Ng et al. 2005] desenvolvem dois níveis para separação de imagens naturais e sintéticas
 - Autenticidade em nível de processamento (imagens capturadas por algum sensor)
 - Autenticidade em nível de cena (*snapshot* de um campo de luz)
- ▶ Definição de diversas características

Diferenças físicas nos processos de captura e geração

- ▶ Dimensão fractal local para capturar a complexidade de texturas
- ▶ Vetores de *patches* locais para capturar propriedades de arestas
- ▶ Superfície gradiente para capturar a forma de resposta de uma câmera
- ▶ Geometria quadrática local para capturar propriedades poligonais dos objetos computadorizados

Técnicas Contra- Forenses em CGI vs. Naturais

Abordagens Contra-forenses

- ▶ Ataques de recaptura
- ▶ Como ficam abordagens baseadas em análise de artefatos de captura?
- ▶ Como ficam abordagens baseadas em propriedades de textura e regularidade?
- ▶ A abordagem de [Ng et al. 2005]

Referências

Referências

- I. [Bayram et al. 2005b] **Bayaram, S., Sencar, H., Memon, N. e Avcibas, I.** (2005b). *Source camera identification based on CFA interpolation*. In Intl. Conf. on Image Processing (ICIP), Genova, Italy.
- I. [Choi et al. 2006] **Choi, K. S., Lam, E. e Wong, K.** (2006). *Automatic source camera identification using the intrinsic lens radial distortion*. Optics Express, 14(24):11551-11565.
2. [Dehnie et al. 2006] **Dehnie, S., Sencar, T. e Memon, N.** (2006). *Identification of computer generated and digital camera images for digital image forensics*,. In Intl. Conf. on Image Processing (ICIP), Atlanta, USA.
3. [Dirik et al. 2007] **Dirik, E., Sencar, H. e Memon, N.** (2007). *Source camera identification based on sensor dust characteristics*. In IEEE Intl. Workshop on Signal Processing Applications for Public Security and Forensics (SAFE), pp. 1-6, Washington DC, USA.
4. [Gloe et al. 2007a] **Gloe, T., Franz, E. e Winkler, A.** (2007a). *Forensics for flat-bed scanners*. In SPIE Intl. Conf. on Security, Steganography, Watermarking of Multimedia Contents, pp. 65051-1.
5. [Gloe et al. 2007b] **Gloe, T., Kirchner, M., Winkler, A. e Bohme, R.** (2007b). *Can we trust digital image forensics?*
6. [Gou et al. 2007] **Gou, H., Swaminathan, A. e Wu, M.** (2007). *Robust scanner identification based on noise features*. In SPIE Security, Steganography, and Watermarking of Multimedia Contents (SSWMC), San Jose, USA.
7. [Khanna et al. 2009] **Khanna, N., Mikkilineni, A. K. e Delp, E. J.** (2009). *Scanner identification using feature-based processing and analysis*. IEEE Transactions on Information Forensics and Security (TIFS), 4(1):123-139.

Referências

10. [Kharrazi et al. 2004] **Kharrazi, M., Sencar, H. e Memon, N. (2004)**. *Blind source camera identification*. In Intl. Conf. on Image Processing (ICIP), Singapore.
11. [Lukas et al. 2006] **Lukas, J., Fridrich, J. e Goljan, M.** (2006). *Digital camera identification from sensor noise sensor*. IEEE Transactions on Information Forensics and Security (TIFS), 1(2):205-214.
12. [Lukas et al. 2006] **Lukas, J., Fridrich, J. e Goljan, M.** (2006). *Digital camera identification from sensor noise sensor*. IEEE Transactions on Information Forensics and Security (TIFS), 1(2):205-214.
13. [Lyu 2005] **Lyu, S.** (2005). *Natural Image Statistics for Digital Image Forensics*. Phd thesis, Dep. of Computer Science - Dartmouth College, Hanover, USA.
14. [Ng et al. 2005] **Ng, T.-T., Chang, S.-F. e Tsui, M.-P.** (2005). *Physics-motivated features for distinguishing photographic images and computer graphics*. In ACM Multimedia (ACMMM), pp. 239-248, Singapore.
15. [Popescu 2004] **Popescu, A. C.** (2004). *Statistical Tools for Digital Image Forensics*. Phd thesis, Dep. of Computer Science - Dartmouth College, Hanover, USA.
16. [Rocha & Goldenstein 2007] **Rocha, A. e Goldenstein, S.** (2007). *PR: More than meets the eye*. In Intl. Conf. on Computer Vision (ICCV), pp. 1-8.

Obrigado!

